

Research Paper

## Determination of the Maximum Permissible Activity of $^{60}\text{Co}$ Line Source for Different Application Modes of Lead Cell<sup>1</sup>

Reza Bagheri\*<sup>2</sup> and Michael Yeganeh<sup>3</sup>

Received: 2020.02.16

Accepted: 2020.07.27

### Abstract

Isolation of radiation sources is one of the most important methods of the radiation protection in order to prevent harm to human beings. Usually, lead cells with plumbic brick walls are used for isolation of medium and low radiation level sources. In this research, the maximum permissible activity of  $^{60}\text{Co}$  line source was calculated using both the analytical and Monte Carlo methods, such that the handling of this amount of activity inside the lead cell with 5 cm standard plumbic brick walls, could fulfill the accepted international criteria for lead cells application in restricted areas. The difference between the analytical and Monte Carlo results was obtained less than 16% in average. The results showed that, the activity of  $^{60}\text{Co}$  source should be less than 5.61 and 48.25 mCi for the analytical method and less than 6.67 and 56.36 mCi for Monte Carlo method respectively at irradiate/storage and load/unload (as well as transient) operation modes. The proposed analytical method could generate MCNPX code data with relatively good approximation.

**Keywords:** *Lead Cell, Cobalt-60, Shielding, Buildup Factor, MCNPX.*

---

<sup>1</sup> DOI: 10.22051/jap.2020.30327.1150

<sup>2</sup> Assistant Professor, Northwest Research Complex (Bonab), Radiation Applications Research School, Nuclear Science and Technology Research Institute, Tehran, Iran (Corresponding Author). Email: rzbagheri@aeoi.org.ir, reza\_bagheri@aut.ac.ir.

<sup>3</sup> Ph. D. in Electrical Engineering, Northwest Research Complex (Bonab), Radiation Applications Research School, Nuclear Science and Technology Research Institute, Tehran, Iran. Email: mye-ganeh@aeoi.org.ir

## تعیین بیشترین میزان فعالیت مجاز چشمۀ میله‌ای کبالت-۶۰ برای وجه‌های کاربردی مختلف در داخل اتفاقک سربی<sup>۱</sup>

رضا باقري<sup>۲</sup> و میکائیل یگانه<sup>۳</sup>

تاریخ دریافت: ۱۳۹۸/۱۱/۲۷

تاریخ پذیرش: ۱۳۹۹/۰۴/۰۷

### چکیده

محصورسازی چشمۀ های تابش یکی از مهمترین روش‌های کنترل خطرات بهداشت محیط برای جلوگیری از آسیب‌رسانی به انسان‌هاست. معمولاً از اتفاقک سربی با دیوارهایی از آجر سربی برای محصورسازی چشمۀ های دارای خطر پرتوزایی متوسط و کم استفاده می‌شود. در این پژوهش، بیشترین میزان فعالیت مجاز چشمۀ میله‌ای کبالت-۶۰ به دو روش تحلیلی و مونت کارلویی با استفاده از کد شبیه‌ساز MCNPX، طوری محاسبه شد که کار با این میزان از فعالیت در داخل یک اتفاقک سربی با دیوارهایی از آجرهای سربی استاندارد به ضخامت ۵ سانتی‌متر، توانست استانداردهای پذیرفته شده بین‌المللی برای کار با اتفاقک سربی در نواحی محصورشده را برآورده کند. اختلاف بین نتایج روش تحلیلی و مونت کارلو به طور میانگین کمتر از ۱۶ درصد به دست آمد. نتایج نشان داد که

<sup>۱</sup> DOI: 10.22051/jap.2020.30327.1150

<sup>۲</sup> استادیار، مجتمع پژوهشی شمال غرب کشور (بناب)، پژوهشکده کاربرد پرتوها، پژوهشگاه علوم و فنون هسته‌ای، تهران، ایران (نویسنده مسئول). rzbagheri@aeoi.org.ir, reza\_bagheri@aut.ac.ir

<sup>۳</sup> دانش آموخته دکترا، مجتمع پژوهشی شمال غرب کشور (بناب)، پژوهشکده کاربرد پرتوها، پژوهشگاه علوم و فنون هسته‌ای، تهران، ایران. myeganeh@aeoi.org.ir

۱۶ / تعیین بیشترین میزان فعالیت مجاز چشمۀ میله‌ای کبالت-۶۰ برای وجهه‌های کاربردی مختلف در داخل ...

برای کار در وجهه‌های کاربردی پرتودهی/ذخیره و نمونه‌گذاری/نمونه‌برداری و همینطور انتقال، باید میزان فعالیت چشمۀ در روش تحلیلی به ترتیب از ۵,۶۱ و ۴۸,۲۵ میلی‌کوری و در روش مونت کارلو از ۶,۶۷ و ۵۶,۳۶ میلی‌کوری کمتر باشد. این روش تحلیلی با تقریب نسبتاً خوبی داده‌های حاصل از کد قدرمند MCNPX را تولید کرد.

**واژگان کلیدی:** اتفاک سربی، کبالت-۶۰، حفاظت‌گذاری، ضریب تولید و انباست دز، MCNPX

#### ۱. مقدمه

با کاربرد گسترده چشمۀ‌های تابش و مواد رادیواکتیو در پزشکی و صنعت و کشاورزی، مطالعه تضعیف و جذب پرتوهای ایکس و گاما و همچنین حفاظت‌گذاری در برابر آن‌ها به شاخه‌ای ضروری و مهم در زمینه حفاظت در برابر پرتوها تبدیل شده است [۴-۱].

محصورسازی چشمۀ‌های تابش یکی از مهمترین روش‌های کنترل خطرات بهداشت محیط برای جلوگیری از آسیب‌رسانی به انسان‌هاست [۵]. بنا بر میزان فعالیت چشمۀ و نوع تابش گسیل شده و حالت فیزیکی چشمۀ، از اشکال مختلف حفاظ از قبیل ظروف استوانه‌ای سربی و فولادی و پلی‌اتیلنی، محفظه دستکش‌دار، اتفاک سربی و یاخته داغ برای محصورسازی چشمۀ‌ها استفاده می‌شود [۶].

کارهای پژوهشی زیادی در ایران در زمینه حفاظت در برابر تابش‌های یونیزان انجام گرفته است. عادلی و همکاران [۷]، با به کارگیری روش‌های نظری و شبیه‌سازی از ترکیبات مختلف بور برای حفاظت‌گذاری نوترون‌های کم انرژی استفاده کردند. آن‌ها همچنین با استفاده از روش مونت کارلو، قدرت تضعیف فوتون‌های ثانویه حفاظ پلیمری بر پایه رزین اپوکسی تقویت شده با درصدهای وزنی مختلفی از ریزذرات اکسید تنگستن و اکسید سرب را بدون حضور جاذب نوترونی مطالعه کردند [۸]. ضرایب تضعیف جرمی ذرات نانوسرب در برابر پرتوهای گامایی چشمۀ‌های مختلف به صورت تجربی توسط شفایی [۹] اندازه‌گیری شد. سلیمانی‌نیا و همکاران [۱۰]، حفاظ سامانه پرتودهی صنعتی چندمنظوره بنابراین با استفاده از کد MCNP4C شبیه‌سازی و محاسبه کردند.

معمولًا برای نگهداری و تعویض و جایه‌جایی چشمۀ‌های به کاررفته در صنعت رادیوگرافی از قبیل چشمۀ‌های کبالت-۶۰، سزیم-۱۳۷، ایریدیم-۱۹۲، که پرتوزایی آن‌ها خیلی هم شدید نباشد از اتفاک‌های سربی با دیوارهایی از جنس سرب استفاده می‌شود. چشمۀ کبالت-۶۰ با نیمه عمر ۵/۲۷

سال و با دو پرتوی گامای نافذ  $1/17$  و  $1/33$  مگاالکترونولت، برای استریل کردن تجهیزات پزشکی، به عنوان چشممه تابش در رادیوتراپی و رادیوگرافی صنعتی، برای تجهیزات سطح و ضخامت و چگالی سنجی و همچنین جهت پرتودهی مواد غذایی و خون و ... استفاده می شود [۱۱]. متأسفانه، کارهای تحقیقاتی زیادی در زمینه شبیه سازی و طراحی و ساخت اتفاقک های سربی در کشور انجام نگرفته است. در این مقاله برای اولین بار بیشترین میزان فعالیت مجاز چشممه میله ای کیالت-۶۰ به دو روش تحلیلی و مونت کارلویی (با استفاده از کد شبیه ساز MCNPX) طوری محاسبه می شود که کار با این میزان از فعالیت در داخل یک اتفاقک سربی با دیوارهایی از آجرهای سربی استاندارد (به ضخامت ۵ سانتی متر) و در برگیرنده شیشه سربی، دستک های فولادی، دستکش ها، دریچه ها و درها و درپوش ها، بتواند استانداردهای مقبول بین المللی را برای کار با اتفاقک سربی در نواحی محصور شده برآورده کند.

به منظور ترا بر د پرتوهای گامای گسیل شده از چشممه و مقایسه آن با روش تحلیلی، کد محاسباتی MCNPX برای شبیه سازی در نظر گرفته شد. این کد محاسباتی چند منظوره که بر پایه فن مونت کارلو استوار است، برای شبیه سازی برهمکنش انواع تابش ها با ماده و ترا بر د آن ها در تمام انرژی ها به کار می رود. این کد از کتابخانه های مربوط به سطح مقطع هسته ای و مدل های فیزیکی برای برهمکنش های ذرات بهره می برد و کمیت های مدنظر را با خطای معینی محاسبه می کند [۱۲].

## ۲. مواد و روش ها

### الف. محاسبات تحلیلی

اگر ترا کم خطی فعالیت چشممه گامای گسیلی با قدرت  $\Gamma$ ، برای با  $C_l$  مگابکرل یا کوری در واحد طول باشد، نواخت دز در نقطه  $p$  که به فاصله  $h$  از طول بینهایت کوچک  $dl$  قرار دارد (شکل ۱)، عبارت خواهد شد از:

$$dD_p = \frac{\Gamma \times C_l \times dl}{l^2 + h^2} \quad (1)$$

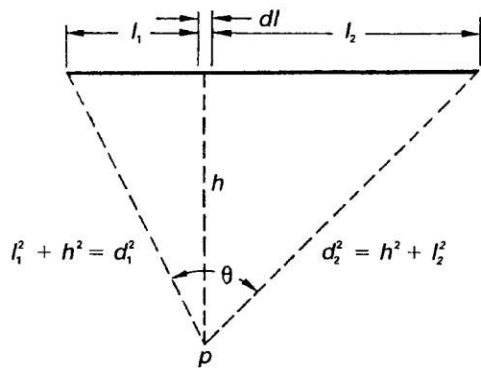
و نواخت دز ناشی از فعالیت کل طول لوله برابر می شود با [۶]:

$$D_p = \Gamma \times C_l \left( \int_0^{l_1} \frac{dl}{l^2 + h^2} + \int_{l_1}^{l_2} \frac{dl}{l^2 + h^2} \right) = \frac{\Gamma \times C_l}{h} \times \left( \tan^{-1} \frac{l_1}{h} + \tan^{-1} \frac{l_2}{h} \right) = \frac{\Gamma \times C_l \times \theta}{h} \quad (2)$$

۱۸ / تعیین بیشترین میزان فعالیت مجاز چشمۀ میله‌ای کبالت-۶۰ برای وجهه‌های کاربردی مختلف در داخل ...

در این رابطه،  $\theta$  بر حسب رادیان است. تراکم خطی فعالیت چشمۀ از رابطه زیر به دست می‌آید که A و l به ترتیب فعالیت و طول چشمۀ میله‌ای هستند:

$$C_l = \frac{A}{l} \quad (3)$$



شکل ۱ نمایش هندسی چشمۀ خطی برای محاسبۀ نواخت دز در نقطۀ p.

در شرایط هندسی خوب، تضعیف باریکه‌ای موازی از پرتوهای گاما از رابطه زیر به دست می‌آید:

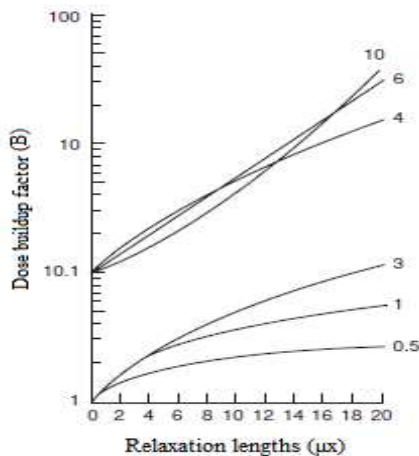
$$I = I_0 e^{-\mu t} \quad (4)$$

که در آن،  $I_0$  و  $I$  شدت پرتوهای فرودی و خروجی از جاذب و  $\mu$  ضریب تضعیف خطی و  $t$  ضخامت جاذب است. اما در شرایط هندسی بد یعنی در حالتی که با باریکه‌ای گسترده یا جذب کننده‌ای خیلی ضخیم کار می‌کنیم، این معادله ضخامت حفاظ را کمتر از مقدار لازم برآورد می‌کند. لذا در شرایط هندسی بد با تعدیل معادله (4) به صورت زیر و استفاده از ضریب تولید و انباشت دز،  $B$ ، می‌توان ضخامت حفاظ لازم را برآورد کرد [۶]،

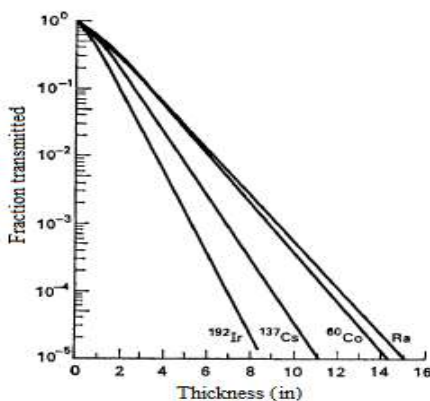
$$I = B \times I_0 e^{-\mu t} \quad (5)$$

ضرایب تولید و انباشت دز برای انرژی‌های مختلف پرتو گاما و جاذب‌های مختلف محاسبه شده و در منحنی‌هایی بر حسب طول واهلش ارائه شده است. شکل ۲ ضریب تولید و انباشت دز را در سرب برای چشمۀ همسانگرد پرتو گاما با انرژی‌های مختلف نشان می‌دهد.

همچنین، شکل ۳ تضعیف باریکه‌های پهن پرتوهای گاما ناشی از چشمۀ های کبالت-۶۰، سریم-۱۳۷، ایریدیم-۱۹۲ و رادیوم را در حفاظ آهنی (مشابه استیل‌های استفاده شده در این مسئله) نشان می‌دهد.



شکل ۲ ضریب تولید و انباشت در سرب برای چشمۀ همسانگرد پرتو گاما [۶].



شکل ۳ عبور نسبی پرتوهای گاما‌های ناشی از چشمۀ‌های کیالت-۶۰، سزیم-۱۳۷، ایریدیم-۱۹۲ و رادیوم در حفاظ آهنی [۶].

## ۵. شبیه‌سازی با کد MCNPX

برای مقایسه با نتایج تحلیلی سعی کردیم با استفاده از کد قدرتمند MCNPX نیز، مقدار دز معادل دریافتی را در بیرون از اتاقک سربی و در فواصل ۵ و ۳۰ و ۱۰۰ سانتی‌متری از دیواره بیرونی یاخته سربی شبیه‌سازی کنیم. بدین منظور، به ترتیب از داخل به خارج از یک لایه پلکسی‌گلس به ضخامت ۱ سانتی‌متر، لایه هوا به ضخامت ۲ سانتی‌متر، لایه استیل شماره ۳۰۴ به ضخامت ۰/۵ سانتی‌متر به عنوان فضای داخلی اتاقک، دیوار آجر سربی استاندارد به ضخامت ۵ سانتی‌متر و ۰/۵ سانتی‌متر استیل معمولی به عنوان روکش بیرونی اتاقک استفاده کردیم. همچنین پنجره از جنس

۲۰ / تعیین بیشترین میزان فعالیت مجاز چشمۀ میله‌ای کبالت-۶۰ برای وجهه‌های کاربردی مختلف در داخل ...

شیشه سربی به ضخامت ۱۱ سانتی‌متر، توپک‌های فولادی دستک‌ها، دریچه‌های درها و دستکش‌های راست و چپ روی دیواره اتفاک سربی همراه با درپوش‌های مربوط (به منظور جابه‌جایی چشمۀ در داخل اتفاک سربی) شیوه‌سازی شد. علاوه بر این، یک فضای خالی به ضخامت ۲۰ سانتی‌متر در بالای اتفاک سربی برای تعیین روشنایی و سایر تجهیزات الکتریکی همراه با دریچه هود مطابق با شرایط استاندارد اتفاک سربی طراحی شد. ابعاد داخلی اتفاک سربی حدود  $1 \times 1/5 \times 1/5$  متر مکعب در نظر گرفته شد. جدول ۱ ترکیب عنصری مواد به کاررفته را در کارت مواد کد MCNPX و چگالی آن‌ها نشان می‌دهد.

**جدول ۱** درصد وزنی عناصر در مواد به کاررفته در شیوه‌سازی.

Pb	Ni	Fe	Mn	Cr	Ar	Si	O	N	C	H	چگالی (g/cm³)	مواد
---	---	---	---	---	---	---	1/۲۸	۲۳/۱۸۷۵/۵۳	۰/۰۱	---	۰/۰۱۲	هوای
---	---	---	---	---	---	---	۳۱/۹۶	۵۹/۹۸	۸/۰۵	۱/۱۹	پلکسی‌گلس	
۳۷/۱۳	---	---	---	---	---	---	۲۸/۰۵۳۴/۸۲	---	---	---	۵/۲	شیشه سربی
---	---	---	---	---	---	---	---	---	---	۷/۹۲	۳۰۴	
---	---	---	---	---	---	---	---	---	---	---	۷/۸۲	استیل معمولی

چشمۀ را به صورت پوسته‌ای استوانه‌ای از جنس کبالت و به ضخامت ۱ میلی‌متر و طول ۱۸۷ میلی‌متر حاوی رادیوایزوتوپ کبالت-۶۰ در نظر گرفتیم، که روی میله فولادی (به شعاع  $3/5$  میلی‌متر) و زیر پوسته استوانه‌ای از جنس استیل معمولی (به ضخامت  $۰/۴$  میلی‌متر) به عنوان نگهدارنده چشمۀ قرار گرفته است. فرض کردیم که چشمۀ به طور همگن در پوسته استوانه‌ای توزیع شده و به صورت همسانگرد در تمامی جهت‌ها پرتوی گاما گسیل می‌کند. به منظور محاسبه مقدار دز دریافتی معادل نیز از کره‌ای به شعاع ۲ سانتی‌متر (حدود حجم حساس یک دزیمتر) پر شده از آب و همچنین تالی F8\* استفاده کردیم. این تالی میزان انرژی جذب شده در یاخته را بر حسب مگاالکترون‌ولت محاسبه می‌کند [۱۲]. شیوه‌سازی با استفاده از حدود ۱ میلیون تاریخچه دنبال شد و نتایج با خطای کمتر از ۱ درصد گزارش شد.

#### ج. استاندارد دز معادل در طراحی اتفاک سربی

با توجه به سند مؤسسه استانداردهای ملی آمریکا به شماره ANSI/HPS N ۴۳,۷-۲۰۰۷ و تحت عنوان طراحی و به کارگیری ایمن پرتودهنده‌های خودنگهدارنده و ذخیره‌کننده چشمۀ خشک

(دسته شماره ۱)، میزان دز مجاز در اطراف اتاقک سربی برای نواحی محصورشده و محصورنشده در فواصل مختلف از اتاقک سربی به شرح جدول ۲ می‌باشد [۱۳].

در ادامه، از این سند استاندارد برای محاسبه بیشترین فعالیت مجاز چشمۀ کبالت-۶۰ با قابلیت به کارگیری در وجههای کاربردی مختلف در داخل اتاقک سربی با دیوارهایی از آجر سربی استاندارد به ضخامت ۵ سانتی‌متر و برای نواحی محصورشده (حیطۀ کاری پرتوکاران) استفاده خواهیم کرد.

**جدول ۲** میزان دز معادل مجاز برای وجههای کاربردی مختلف [۱۳].

وجه کاربرد <sup>۱</sup>	فاصله از سطح اتاقک سربی		
	بیشترین سطح تابش مجاز (میلی‌سیورت در ساعت)	نواحی محصورشده	نواحی محصورنشده
پرتودهی/ذخیره	۱۰۰	۰/۰۲	۰/۰۰۲
نمونه‌گذاری/نمونه‌برداری	۳۰	۰/۰۵	۰/۰۰۵
	۵	۰/۲	۰/۰۲
	۱۰۰	۰/۱	۰/۰۱
	۳۰	۰/۲۵	۰/۰۲۵
انتقال	۵	۲	۰/۲
	۱۰۰	۰/۱	۰/۰۱
	۳۰	۰/۲۵	۰/۰۲۵
	۵	۲	۰/۲

### ۳. نتایج

#### الف. روش تحلیلی

ضریب تضعیف خطی سرب برای پرتوی گاما<sup>۱</sup> ۱/۳۳ مگاالکترونولت تقریباً برابر با  $0.66 \text{ cm}^{-1}$  است [۶]. طول واهلش که به صورت عکس ضریب تضعیف خطی تعریف می‌شود برابر  $1/515$  سانتی‌متر خواهد شد. همچنین، ضخامت دیواره سربی استاندارد به کاررفته  $(3/3 = 5 \div 1/515)$  برابر طول واهلش خواهد بود. لذا ضریب تولید و انباشت دز با استفاده از شکل ۲ و برای پرتوهای گاما<sup>۱</sup> ۱/۳۳ مگاالکترونولت برابر  $2/2$  به دست می‌آید.

پس از قرار دادن مقادیر ضریب تولید و انباشت دز و ضخامت دیواره سربی در معادله ۵ و همچنین مقدار نوخت دز معادل مجاز (I) از جدول ۲ در نقطه p و در فواصل ۵ و ۳۰ و ۱۰۰

<sup>۱</sup> Operation mode

## ۲۲ / تعیین بیشترین میزان فعالیت مجاز چشممه میله‌ای کبالت-۶۰ برای وجهه‌های کاربردی مختلف در داخل ...

سانتی‌متری از دیواره بیرونی اتاقک سربی، مقدار نواخت دز معادل فروودی ( $I_0$ ) در این فواصل و بدون حضور حفاظت سربی به دست خواهد آمد. از آنجا که، حدود یک سانتی‌متر حفاظت فولادی اضافه نیز جلوی پرتوهای گاما قرار دارد (لایه استیل شماره ۳۰۴ به عنوان فضای داخلی اتاقک سربی و استیل معمولی به عنوان روکش بیرونی هر دو به ضخامت ۵/۰ سانتی‌متر)، اثر تضعیف آن را نیز باید لحاظ کنیم. از شکل ۳، میزان عبور نسبی پرتوهای گاما‌ی چشممه کبالت-۶۰ از حفاظ آهنی به ضخامت ۱ سانتی‌متر حدود ۸۰٪ به دست می‌آید. با اعمال ضریب تصحیح مناسب ( $1/25 = 100 \div 80$ ) در مقدار نواخت دز معادل فروودی ( $I_0$ ) به دست آمده از حضور دیوار سربی، اثر حفاظ فولادی نیز لحاظ می‌شود. شایان ذکر است که در جدول ۲ مقدار نواخت دز معادل فروودی ( $I_0$ ) برای وجهه‌های کاربردی مختلف مقادیر متفاوتی است، لذا مقدار نواخت دز معادل فروودی ( $I_0$ ) برای وجهه‌های کاربردی متفاوت محاسبه شده و در جدول ۳ آورده شده است. به علت یکسان بودن مقدار نواخت دز معادل وجهه‌های کاربردی نمونه‌گذاری/نمونه‌برداری و انتقال، نتایج آن‌ها در یک ردیف آورده شده است.

### جدول ۳ نواخت دز معادل فروودی ( $I_0$ ) و نواخت پرتوگیری ( $D_p$ )

متناظر برای وجهه‌های کاربردی مختلف.

وجه کاربرد	فاصله از سطح اتاقک سربی (سانتی‌متر)	$I_0$	(mSv/h) $D_p$	(R/h)
	۱۰۰	۰/۳۰۸	۰/۰۳۲	
پرتودهی/ذخیره	۳۰	۰/۷۷۰	۰/۰۸۱	
	۵	۳/۰۸۱	۰/۳۲۴	
	۱۰۰	۱/۵۴۰	۰/۱۶۲	
نمونه‌گذاری/نمونه‌برداری و انتقال	۳۰	۳/۰۸۵۱	۰/۴۰۵	
	۵	۳۰/۰۸۱۰	۳/۰۲۴۳	

در امور مربوط به حفاظت در برابر تابش، دز معادل ۹/۵ میلی‌سیورت (۰/۹۵ رم) برای بافت نرم معادل ۱ رونتگن ( $R$ ) پرتوگیری در هواست [۶]. با استفاده از این ضریب تبدیل، مقادیر پرتوگیری ( $D_p$ ) متناظر دز معادل نیز در جدول ۳ بر حسب رونتگن در ساعت محاسبه شده است. در این کار تحقیقاتی، نقطه  $p$  از سطح میله کبالت-۶۰ و در فواصل ۵ و ۳۰ و ۱۰۰ سانتی‌متری از سطح خارجی اتاقک سربی در نظر گرفته شد. همچنین در محاسبات محافظه کارانه‌ترین حالت ممکن لحاظ شد، یعنی حالتی که در آن میله کبالت-۶۰ موجود در داخل اتاقک سربی در کمترین

فاصله ممکن از پرتوکار قرار داشته باشد (چشمۀ چسبیده به سطح داخلی اتاقک سربی). تحت این شرایط فاصله نقطۀ  $p$  از وسط چشمۀ میله‌ای کیالت $-60$  (h) به طول (l)  $0/187$  متر از مجموع ضخامت‌های پلکسی‌گلس (1 سانتی‌متر)، لایه‌ها (2 سانتی‌متر)، استیل شمارۀ ۳۰۴ داخلی (0/5 سانتی‌متر)، دیواره آجر سربی استاندارد (5 سانتی‌متر)، استیل معمولی به عنوان روکش بیرونی (0/5 سانتی‌متر) و فاصله نقطۀ  $p$  مدنظر از سطح بیرونی اتاقک سربی به دست می‌آید. بنابراین، فاصله نقطۀ  $p$  از وسط میله خطی تابش (h) برای فواصل ۵ و ۳۰ و ۱۰۰ سانتی‌متری از سطح بیرونی اتاقک سربی به ترتیب  $0/14$ ،  $0/39$  و  $0/09$  متر به دست خواهد آمد. همچنین زوایای  $\theta$  بر حسب رادیان برای سه فاصله مذکور از سطح خارجی اتاقک سربی به ترتیب برابر با  $1/145$  و  $0/465$  و  $0/0/170$  رادیان به دست می‌آید. گسیل ویژۀ پرتوی گاما نیز برای چشمۀ کیالت $-60$  برابر است با [۶]:

$$\Gamma = 1.32 \frac{R \cdot m^2}{C_i \cdot h}$$

با قرار دادن کمیت‌های محاسبه شده در رابطۀ ۲، تراکم خطی فعالیت چشمۀ گامای گسیلی ( $C_1$ ) و در نتیجه بیشترین فعالیت مجاز چشمۀ میله‌ای مدنظر مسئله (به طول  $0/187$  متر) مطابق با استانداردهای پذیرفته بین‌المللی برای کاربرد در داخل اتاقک سربی (اینجا با دیوارهایی از آجر سربی استاندارد به ضخامت ۵ سانتی‌متر) و برای نواحی محصور شده به دست خواهد آمد. جدول ۴، تراکم خطی فعالیت چشمۀ و بیشینه مقدار فعالیت مجاز چشمۀ را در وجهه‌های مختلف به کارگیری چشمۀ نشان می‌دهد.

**جدول ۴** تراکم خطی فعالیت چشمۀ و بیشینه مقدار فعالیت مجاز چشمۀ کیالت $-60$  در وجهه‌های کاربردی مختلف.

(mCi) A	(Ci/m) Ci	فاصله از سطح اتاقک سربی (سانتی‌متر)	وجه کاربرد
۲۹/۵۵	۰/۱۵۸	۱۰۰	
۹/۵۴	۰/۰۵۱	۳۰	پرتودهی/ذخیره
۵/۶۱	۰/۰۳۰	۵	
۱۴۷/۷۳	۰/۷۹۰	۱۰۰	
۴۸/۲۵	۰/۲۵۸	۳۰	نمونه‌گذاری/نمونه‌برداری و انتقال
۵۶/۲۹	۰/۳۰۱	۵	

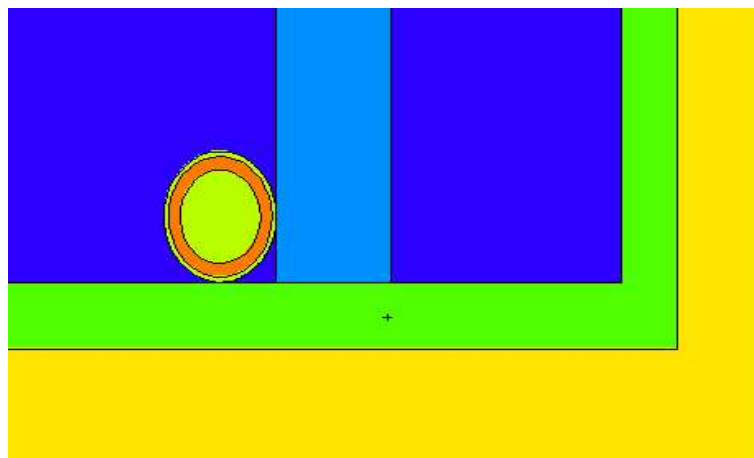
همانطور که نتایج به دست آمده از روش تحلیلی در جدول ۴ نشان می‌دهد، برای کار با چشمۀ میله‌ای کیالت $-60$  به طول  $187$  میلی‌متر در داخل اتاقک سربی با دیوارهایی از آجرهای سربی

۲۴ / تعیین بیشترین میزان فعالیت مجاز چشمۀ میله‌ای کبالت-۶۰ برای وجهه‌های کاربردی مختلف در داخل ...

استاندارد با ضخامت ۵ سانتی‌متر لازم است که برای کار در وجهه‌های کاربردی پرتووده‌ی/ذخیره و نمونه‌گذاری/نمونه‌برداری و همینطور انتقال، میزان فعالیت چشمۀ به ترتیب از ۴۸/۲۵ و ۵/۶۱ میلی کوری کمتر باشد تا در هر سه فاصله ۵ و ۳۰ و ۱۰۰ سانتی‌متری شرایط قیدشده در استانداردهای مربوطه برآورده شده و کار کردن با چنین چشمۀ‌ای از لحاظ فیزیک بهداشت بدون مشکل باشد.

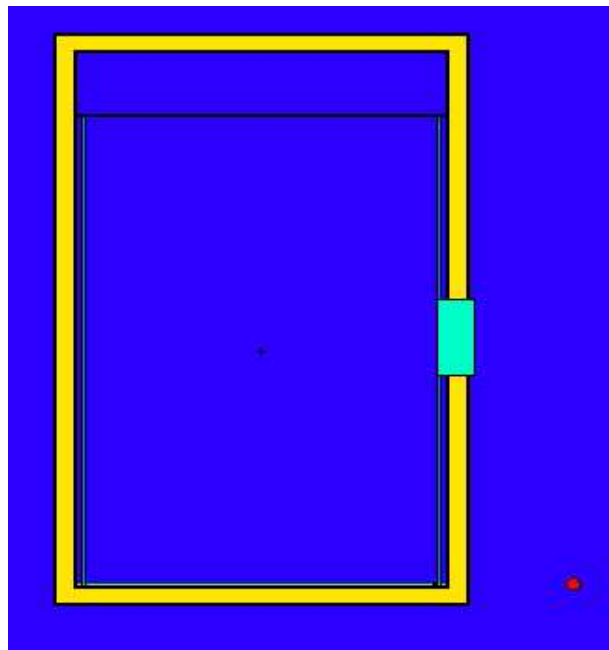
### ب. روش مونت کارلو با استفاده از کد MCNPX

در این روش نیز چشم I میله‌ای کبالت-۶۰ در کمترین فاصله ممکن از پرتوکار (چسییده به سطح داخلی اتاقک سربی) قرار داده شد. مکان چشمۀ شامل میله فولادی مرکزی، پوسته استوانه‌ای حاوی کبالت-۶۰ و پوسته استیل بیرونی محافظه همراه با پلکسی گلس، استیل شماره ۳۰۴، فضای داخلی اتاقک و بخشی از دیواره سربی در شکل ۴ نشان داده شده است.

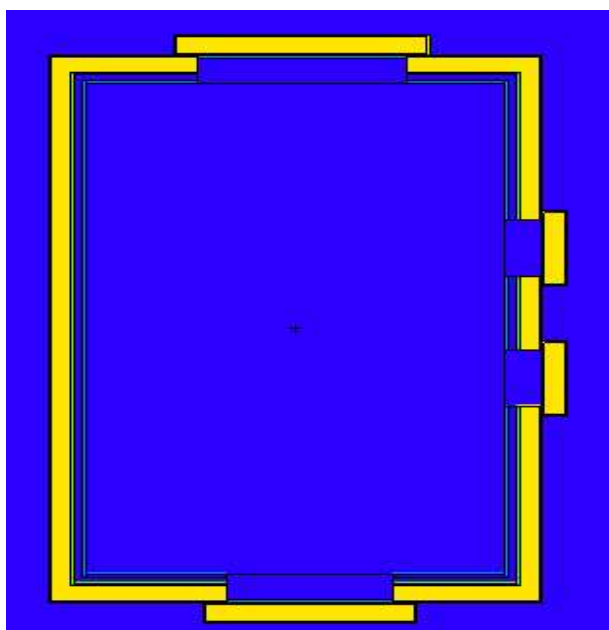


شکل ۴ مکان قرارگیری چشمۀ در داخل اتاقک سربی.

شکل‌های ۵ و ۶ و ۷ نمای اتاقک سربی را از مقطع‌های مختلف نشان می‌دهد. در شکل ۵، محل قرارگیری محفظهٔ خالی بالای اتاقک سربی، پنجره سربی، پلکسی گلس و کرهٔ دزیمتري دیده می‌شود. درهای سمت راست و چپ و محل قرارگیری دریچه دستکش‌ها همراه با درپوش‌های مربوط در شکل ۶ نشان داده شده است. همچنین مکان دستکش‌ها و توپک‌های فولادی دستک‌ها همراه با پنجره سربی در شکل ۷ مشاهده می‌شود.

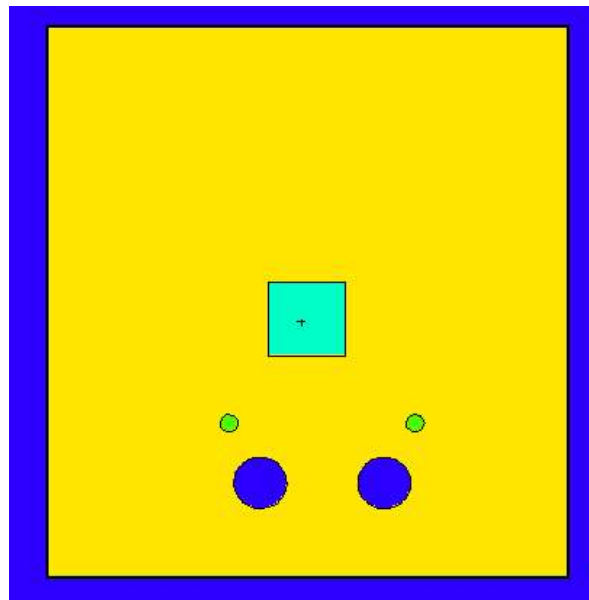


شکل ۵ برش مقطعی XZ از یاخته سربی.



شکل ۶ برش مقطعی XY از یاخته سربی.

۲۶ / تعیین بیشترین میزان فعالیت مجاز چشممه میله‌ای کبالت-۶۰ برای وجهه‌های کاربردی مختلف در داخل ...



شکل (۷): برش مقطعی YZ از یاخته سربی.

مقادیر خروجی کد (میزان انرژی انباسته شده در کره دزیمتری بر حسب مگاالکترونولت) در فواصل ۵ و ۳۰ و ۱۰۰ سانتی‌متری از سطح خارجی اتفاقک سربی به ترتیب برابر  $10^{-5}$  و  $2/35 \times 10^{-6}$  و  $3/49 \times 10^{-7}$  و  $4/41 \times 10^{-7}$  به دست می‌آید. با تبدیل مقادیر به دست آمده بر حسب ژول (J)  $= 1/6 \times 10^{-13} \text{ MeV}$  و تقسیم بر جرم یاخته دزیمتری مدنظر ( $33/49 \times 10^{-3}$  کیلوگرم)، مقدار دز جذبی بر حسب گری<sup>۱</sup> بر تاریخچه به دست خواهد آمد. چون در این مسئله با پرتوهای گاما سروکار داریم، لذا ضریب کیفیت (Q) برای این پرتوها برابر یک بوده و نتایج مستقیماً برابر مقدار دز معادل بر حسب سیورت بر تاریخچه خواهند بود.

از آنجا که کد MCNPX خروجی مدنظر را بر پایه میزان متوسط ترا بر د فقط یک ذره (یا تاریخچه) به دست می‌دهد و رادیوایزوتوپ کبالت-۶۰ نیز در هر واپاشی دو پرتو گاما به صورت آنی گسیل می‌کند، لذا خروجی کد باید در عدد ۲ ضرب شود تا دز معادل بر حسب سیورت به ازای هر واپاشی به دست آید. با تقسیم در مجاز در فواصل مختلف اطراف اتفاقک سربی بر نواحی محصور شده از جدول ۲، بر مقادیر دز معادل به دست آمده از کد بر حسب میلی‌سیورت بر واپاشی و استفاده از ضریب تبدیل مناسب ( $1\text{mCi}=10^7\text{Bq}$ )، بیشترین فعالیت مجاز چشممه میله‌ای در وجهه‌های کاربردی مختلف در داخل اتفاقک سربی (با دیوارهایی از آجر سربی استاندارد

<sup>1</sup> Gray

به ضخامت ۵ سانتی‌متر) برای نواحی مخصوص شده به دست خواهد آمد. جدول ۵، دز معادل بر حسب میلی‌سیورت به‌ازای هر واپاشی (H) و بیشینه مقدار فعالیت مجاز چشمۀ را در وجه‌های مختلف به کارگیری چشمۀ نشان می‌دهد. همچنین اختلاف بین مقادیر روش تحلیلی و مونت کارلو بر حسب درصد در ستون آخر جدول ۵ نشان داده شده است.

#### جدول ۵ دز معادل بر حسب سیورت به‌ازای هر واپاشی (H) و بیشینه مقدار فعالیت مجاز چشمۀ در وجه‌های کاربردی مختلف.

وجه کاربرد	فاصله از سطح اتفاقک سربی (سانتی‌متر)	H (mSv/decay)	A (mCi)	RD (%)
پرتودهی/ذخیره	۱۰۰	$4/21 \times 10^{-15}$	۳۵/۶۶	۱۷/۱۳
	۳۰	$3/33 \times 10^{-14}$	۱۱/۲۷	۱۵/۳۵
	۵	$2/25 \times 10^{-13}$	۶/۶۷	۱۵/۸۹
نمونه‌گذاری/نمونه‌برداری و انتقال	۱۰۰	$4/21 \times 10^{-15}$	۱۷۸/۳۲	۱۷/۱۵
	۳۰	$3/33 \times 10^{-14}$	۵۶/۳۶	۱۴/۳۹
	۵	$2/25 \times 10^{-13}$	۶۶/۷۳	۱۵/۶۴

همانطور که نتایج روش مونت کارلو در جدول ۵ نشان می‌دهد، برای کار با چشمۀ میله‌ای کبات-۶۰ به طول ۱۸۷ میلی‌متر در داخل اتفاقک سربی با دیوارهایی از آجرهای سربی استاندارد با ضخامت ۵ سانتی‌متر و در وجه‌های کاربردی پرتودهی/ذخیره و نمونه‌گذاری/نمونه‌برداری و همینطور انتقال، لازم است که میزان فعالیت چشمۀ به ترتیب از ۶/۶۷ و ۵۶/۳۶ میلی‌کوری کمتر باشد تا در هر سه فاصله ۵ و ۳۰ و ۱۰۰ سانتی‌متری شرایط قیدشده در استانداردهای مربوط برآورده شده و کار کردن با چنین چشمۀ‌ای از لحظه‌ایک بهداشت بدون مشکل باشد. اختلاف بین مقادیر روش تحلیلی و مونت کارلو به طور میانگین کمتر از ۱۶ درصد به دست آمد. همچنین نتایج جداول ۴ و ۵ نشان می‌دهد که به دلیل ساده‌سازی‌های اجتناب‌ناپذیر روش تحلیلی، روش مونت کارلو فعالیت مجاز چشمۀ میله‌ای کبات-۶۰ را در تمامی وجه‌های کاربردی و فوائل از سطح اتفاقک سربی، بیشتر از مقادیر روش تحلیلی به دست می‌دهد.

#### ۴. نتیجه‌گیری

همانطور که نتایج نشان می‌دهند، اختلاف نسبتاً چشمگیری بین داده‌های حاصل از روش تحلیلی و روش مونت کارلو مشاهده می‌شود (به طور میانگین کمتر از ۱۶ درصد). اختلاف نتایج به‌دست

## ۲۸ / تعیین بیشترین میزان فعالیت مجاز چشمۀ میله‌ای کبالت-۶۰ برای وجهه‌های کاربردی مختلف در داخل ...

آمده از دو روش تحلیلی و مونت کارلو اساساً به برخی ساده‌سازی‌های انجام گرفته در روش تحلیلی مربوط می‌شود تا بتوان از پیچیدگی محاسبات تا جای ممکن کاست. با این ساده‌سازی‌های اجتناب‌ناپذیر انجام گرفته در روش تحلیلی، عملاً از میزان حفاظت واقعی و مؤثر در مقابل پرتوهای گاما کاسته می‌شود که به نوبه خود میزان فعالیت مجاز چشمۀ میله‌ای کبالت-۶۰ را کمتر از مقادیر روش مونت کارلو پیش‌بینی می‌کند.

از سوی دیگر، سعی کردیم تا حد امکان شرایط واقعی را در روش شبیه‌سازی با کد MCNPX پیاده‌سازی کرد، تا ترا بردازه دزرات و در نتیجه خروجی کد در شرایط مشابه حالت واقعی انجام گیرد.

از جمله مهمترین ساده‌سازی‌های انجام گرفته در روش تحلیلی می‌توان به موارد زیر اشاره کرد:

- چشم‌پوشی از غلاف استیل به ضخامت تقریبی نیم میلی‌متر به عنوان محافظه چشمۀ همچنین میله‌ی فولادی نگهدارنده چشمۀ.
- چشم‌پوشی از ضخامت خود چشمۀ کبالت-۶۰ و اثر خود جنبی چشمۀ.
- چشم‌پوشی از پرتوهای پراکنده از سایر دیوارها و قسمت‌های اتاقک سربی.
- محاسبۀ ضریب تولید و انباشت دز از روی نمودار چشمۀ‌های نقطه‌ای به جای چشمۀ‌های میله‌ای به علت در دسترس نبودن.
- چشم‌پوشی از ضخامت ۱ سانتی‌متر پلکسی‌گلس و ۲ سانتی‌متر لایه هوا.

همچنین شایان ذکر است که در هر دو روش، محافظه کارانه‌ترین حالت ممکن یعنی حالتی که در آن میله‌ی کبالت-۶۰ موجود در داخل اتاقک سربی در کمترین فاصله ممکن از پرتوکار قرار داشته باشد (چشمۀ چسبیده به سطح داخلی اتاقک سربی) لحاظ گردید. بنابراین در حالت واقعی و با افزایش فاصله چشمۀ داخل اتاقک سربی از پرتوکار در حین کار، میزان آهنگ دز معادل تحويلی به پرتوکار از مقادیر محاسبه شده در فواصل ۵ و ۳۰ و ۱۰۰ سانتی‌متری نیز به مراتب کمتر خواهد بود و در نتیجه، بیشینه فعالیت مجاز چشمۀ میله‌ای نیز افزایش خواهد یافت.

## ۵. منابع

- [1] Akkurt I., Akyldrm H., Mavi B., Kilincarslan S., Basyigit C., "Photon attenuation coefficients of concrete include barite in different rate", *Ann. Nucl. Energy* 37 (2010) 910–914.
- [2] Sharifi S., Bagheri R., Shirmardi S.P., "Comparison of shielding properties for ordinary, barite, serpentine and steel-magnetite concretes using MCNP-4C code and available experimental Results", *Ann. Nucl. Energy* 53 (2013) 529–534.
- [3] Bootjomchai C., Laopaiboon J., Yenchai C., Laopaiboon R., "Gamma-ray shielding and structural properties of barium-bismuth-borosilicate glasses", *Radiat. Phys. Chem.* 81 (2012) 785–790.

- [4] Singh V.P., Badiger N.M., "Effective atomic numbers, electron densities, and tissue equivalence of some gases and mixtures for dosimetry of radiation detectors", *Nucl. Technol. Radiat.* 27 (2012) 117–124.
- [5] Demir F., Budak G., Sahin R., Karabulut A., Oltulu M., Un A., "Determination of radiation attenuation coefficients of heavyweight- and normal-weight concretes containing colemanite and barite for 0.663 MeV c-rays," *Ann. Nucl. Energy* 38 (2011) 1274–1278.
- [6] Cember H., Johnson T.E., *Introduction to Health Physics*, (McGraw-Hill Companies, Inc. 2009).
- [7] Adeli R., Bagheri R., Shirmardi S.P., "Theory and simulation investigation of low-energy neutron shielding for different boron compounds", *J. Test. Eval.* 45 (2017) 1570–1576.
- [8] Adeli R., Shirmardi S.P., Ahmadi S.J., Mazinani S., "High energetic gamma attenuating from a neutron field using a lead free reinforced composite", *J. Nucl. Sci. Tehnol.* 15 (2016) 22-29 (In Persian).
- [9] Shafeei M.A., "Assessment of mass attenuation coefficient of lead nanoparticles for variety of gamma source", *J. Radiat. Nucl. Technol.* 2 (2016) 38-47 (In Persian).
- [10] Soleimaninia M., Ahmadi M., Zarei S., "Calculation and simulation of the designed shield for gamma industrial irradiator in Bonab", *J. Radiat. Nucl. Technol.* 2 (2015) 55-62 (In Persian).
- [11] Stankovic S.J., Ilic R.D., Jankovic K., Bojovic D., Longar B., "Gamma radiation absorption characteristics of concrete with components of different type materials", *Acta Phys. Pol. A* 117 (2010) 812–816.
- [12] Shultis J.K., Faw R.E., "An MCNP primer", Department of Mechanical and Nuclear Engineering, Kansas State University, Manhattan, KS 66506, (2004).
- [13] ANSI, American National Standards Institute, Inc., Safe Design and Use of Self-Contained, Dry Source Storage Irradiators (Category I). Health Physics Society, ANSI/HPS N43.7 (2007).